

# 表面 XANES 法による $\text{SiO}_x$ および $\text{SiN}_x$ の電子構造解析<sup>†</sup>

馬場 祐治・山本 博之・佐々木貞吉

日本原子力研究所先端基礎研究センター 319-11 茨城県那珂郡東海村白方白根 2-4

(1993年2月23日受付, 1993年3月25日掲載決定)

## Analysis of Electronic Structures of Ion-Implanted $\text{SiO}_x$ and $\text{SiN}_x$ by Surface XANES

Yuji BABA, Hiroyuki YAMAMOTO and Teikichi A. SASAKI

Advanced Science Research Center, Japan Atomic Energy Research Institute  
Tokai-mura, Ibaraki-ken, 319-11

(Received February 23, 1993; Accepted March 25, 1993)

X-ray absorption near edge structure (XANES) has been applied to the elucidation of electronic structures in conduction-band region of  $\text{SiO}_x$  and  $\text{SiN}_x$  produced by ion implantation in Si(100). The XANES spectra of  $\text{SiO}_x$  at the Si2p edge are similar to those of  $\text{SiO}_2$  but the spectral structure of intermediate compound such as  $\text{SiO}$  is not observed. This fact suggests that the  $\text{SiO}_x$  layer consists of a mixture of Si and  $\text{SiO}_2$  islands, and the conduction band of  $\text{SiO}_x$  is mainly composed of the orbitals of  $\text{SiO}_2$ . On the other hand, the XANES spectra at the Si2p edge of  $\text{SiN}_x$  gradually change depending on the  $x$ -values, and a sharp resonance corresponding to the N-dangling appears at the N1s edge for  $x > 1.0$ . These observations suggest that  $\text{SiN}_x$  phase prefer random-bonding structure rather than a mixture of Si and  $\text{Si-N}_4$  islands.

## 1. 緒 言

半導体や絶縁体の電子物性は価電子帯領域の占有軌道の電子構造だけでなく、伝導帯を構成する非占軌道の電子構造に大きく依存する。固体の非占軌道の電子構造を実験的に調べる方法としては、逆光電子分光法(BIS)や可視・紫外領域の光吸収スペクトル測定などがある。多成分系の固体の場合、これらの手法は測定領域の平均的な電子状態に関する情報を与える。

これに対し、X線吸収スペクトルを高分解能で測定すれば内殻軌道から非占軌道への共鳴吸収による遷移が観測できる。遷移に伴う多体効果が無視できる場合は、この遷移エネルギーから伝導帯のエネルギー準位を、また遷移強度からその軌道成分を知ることができる。内殻

軌道のエネルギーは元素により特有であるため、この方法は多成分系の試料であっても、特定元素の吸収端近傍を測定することにより、その元素周辺の電子状態を知ることができるという特徴がある。放射光をプローブとしてX線吸収端付近(～100 eV)の吸収スペクトルを高分解能で測定する方法は、一般にX線吸収端微細構造法(XANESまたはNEXAFS)と呼ばれ、固体表面では吸着構造の解析などに広く用いられている<sup>1,2)</sup>。

本報告では、XANES法を固体表面の伝導帯電子構造の解析に適用した。試料としては、非化学量論組成をもつシリコン酸化物( $\text{SiO}_x$ )および窒化物( $\text{SiN}_x$ )をとりあげ、それぞれの元素周囲の伝導帯電子構造が組成( $x$ )とともにどのように変化するかを調べた。

## 2. 実 験

試料の作成とXANESの測定は同一の真空容器内

<sup>†</sup> 第12回表面科学講演大会(1992年12月15～17日)にて  
発表

(真空間度  $3 \times 10^{-7}$  Pa) で行った。 $\text{SiO}_x$  および  $\text{SiN}_x$  の試料はイオン注入法で作成した。すなわち、Si(100) 単結晶清浄表面に、PIG 型イオン銃からの  $\text{O}_2^+$  または  $\text{N}_2^+$  イオンを種々のフルエンスで室温照射した。イオンの電流密度は  $2 \mu\text{A}/\text{cm}^2$  ( $2.5 \times 10^{13} \text{ atoms} \cdot \text{s}^{-1} \cdot \text{cm}^2$ ) とした。イオンの加速エネルギーは 10 keV であり、これは 5 keV の  $\text{O}^+$  および  $\text{N}^+$  イオンに相当する。表面の組成比 ( $x$ ) は、あらかじめ別の装置で XPS 測定を行い、 $\text{Si} 2\text{p}$  および  $\text{O} 1\text{s}$ ,  $\text{N} 1\text{s}$  のピーク強度から決定した<sup>3)</sup>。イオンの入射角はチャンネリングを避けるため、垂直方向から  $25^\circ$  傾けた。この条件における注入イオンの飛程は、 $\text{O}_2^+$  で 15 nm,  $\text{N}_2^+$  で 18 nm である<sup>4)</sup>。

XANES の測定は、高エネルギー物理学研究所のフォトンファクトリーの BL-11A で行った。作成した試料表面に、 $\text{Si} 2\text{p}$ ,  $\text{Si} 2\text{s}$ ,  $\text{O} 1\text{s}$ ,  $\text{N} 1\text{s}$  吸収端近傍の放射光 (80 eV~600 eV) を垂直入射し、 $45^\circ$  方向に放出される全電子の強度をチャンネルトロンにより検出した。放射光のビーム強度は試料前方に置いた銅メッシュによりモニターした。同様の試料について、内殻軌道の電子構造を調べるために、Al K $\alpha$  線を励起起源とする XPS および X線誘起オージュ電子スペクトル (XAES) の測定を行った。このときの測定条件は既報のものと同様である<sup>3)</sup>。

### 3. 結果と考察

#### 3.1 $\text{SiO}_x$

$\text{O}_2^+$  イオンを注入した試料について、 $\text{Si} 2\text{p}$  および  $\text{Si} 2\text{s}$  吸収端近傍の全電子収量を放射光エネルギーの関数として Fig. 1 に示す (以下 XANES スペクトルと呼ぶ)。XPS で求めた表面の O/Si 比 ( $x$ ) を各スペクトルに示した。X線照射により固体表面から発生する 2 次電子は、光電子、オージュ電子およびこれらの電子が表面層で非弾性散乱することにより発生する低エネルギー電子からなる。これらの電子はすべて内殻軌道電子の励起または電離に起因するものであるから、Fig. 1 の縦軸は表面層における放射光の質量吸収係数にはほぼ比例する。

イオン注入前 ( $x=0$ ) のスペクトルは、Si(100) 清浄表面の XANES スペクトルであるが、その構造は既報のシリコン清浄表面の XANES<sup>5~13)</sup> によく一致する。ピーク  $A$ ,  $D$  は  $\text{Si} 2\text{p}$  軌道からの遷移であり、双極子選択則より、それぞれ  $\text{Si} 2\text{p} \rightarrow \sigma_1(3s)$ ,  $\text{Si} 2\text{p} \rightarrow t_2 + e(\varepsilon d)$  遷移の共鳴吸収と考えられる。また、ピーク  $E$  は  $\text{Si} 2\text{s} \rightarrow \text{Si} 3\text{p}$  の共鳴吸収によるピークである。

$\text{O}_2^+$  イオンを注入することにより、これらのピークは 3~4 eV 高エネルギー側にシフトする ( $A'$ ,  $D'$ ,  $E'$ ) とともに、ピーク強度が増大する。特にピーク  $A$  は、 $x$  の

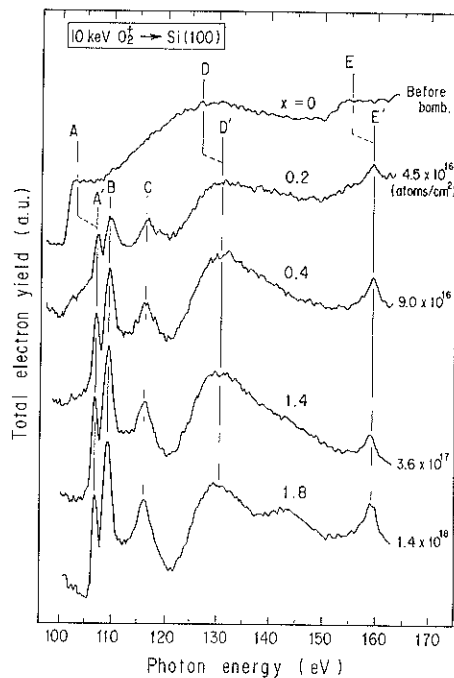


Fig. 1 XANES spectra of  $\text{SiO}_x$  at the  $\text{Si} 2\text{p}$  and  $\text{Si} 2\text{s}$  edges. The surface O/Si ratio determined by XPS is indicated as  $x$  in each spectrum.

値の増加とともに半値幅が小さくなり鋭い吸収を示すようになる。これは表面層が半導体から絶縁体に変化し、 $\text{Si} 3\text{s}$  軌道が局在化し、内殻励起子 (エキシトン) が生成するためと考えられる<sup>9)</sup>。

同様の試料の  $\text{Si} 2\text{p}$ -XPS スペクトルを Fig. 2(a) に示した。 $\text{O}_2^+$  イオン注入に伴い、 $\text{Si} 2\text{p}$  ピークは Si によるピーク  $A$  と  $\text{SiO}_2$  によるピーク  $B$  の 2 本に分裂する。Fig. 2(b) に XPS スペクトル中に現れる  $\text{Si}_{\text{KLL}}$  オージュスペクトル (X 線誘起オージュスペクトル, XAES) を示す。 $\text{Si}_{\text{KLL}}$  ピークの Si-SiO<sub>2</sub> 間のケミカルシフトが光電子ピークの場合より大きいため、Si と SiO<sub>2</sub> の 2 種の存在が、より明瞭に認められる。Fig. 2(a) によれば、Si-SiO<sub>2</sub> 間の  $\text{Si} 2\text{p}$  ピークのケミカルシフトは 3.3 eV であり、XANES スペクトル (Fig. 1) の共鳴吸収ピークにおける Si-SiO<sub>2</sub> 間のエネルギーシフトにはほぼ一致する。したがって、 $A \rightarrow A'$ ,  $D \rightarrow D'$  のシフトは  $\text{Si} 2\text{p}$  軌道のエネルギーシフト、すなわち始状態のエネルギーシフトによるものと考えられる。同様に  $E \rightarrow E'$  は  $\text{Si} 2\text{s}$  軌道のエネルギーシフトに起因する。

一方、 $\text{O}_2^+$  イオン注入後の XANES スペクトルには、Si にはみられないピーク  $B$  が出現する。このピークは、 $\text{Si} 2\text{p} \rightarrow \sigma^*(t_2)$  に対応する<sup>9,12)</sup>。 $\sigma^*(t_2)$  は  $\text{Si} 3\text{p}$  軌道

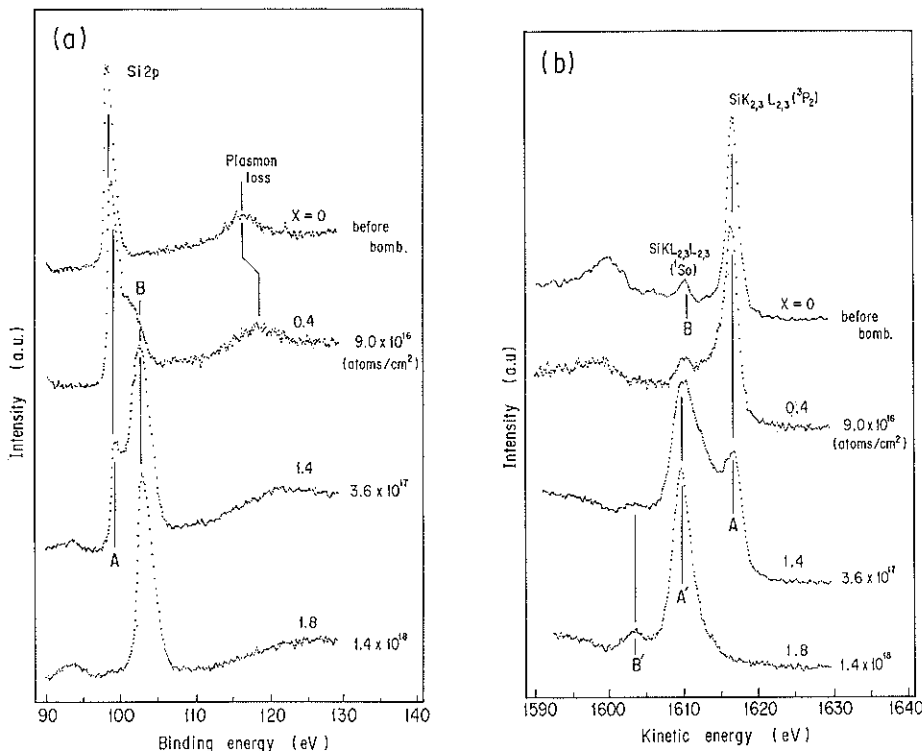


Fig. 2 Si2p-XPS (a) and SiKLL-XANES (b) of  $\text{SiO}_x$ . The  $x$  value is indicated in each spectrum.

の成分を多く含んでおり、本来この遷移は双極子禁制であるが、 $\text{Si}-\text{O}_4$  結合の形成により軌道の対称性が弱められたために強度が大きくなったものと考えられる<sup>12)</sup>。

これら XANES スペクトルの構造は  $x=0.2$ においてすでに既報の  $\text{SiO}_2$  のスペクトル構造<sup>5,8~13)</sup>に類似しており、中間組成をもつ  $\text{SiO}$  などの XANES 構造<sup>9)</sup>はまったく認められない。この結果は  $\text{SiO}_x$  の伝導帯が主として  $\text{SiO}_2$  軌道成分から構成されていることを示している。また、 $\text{Si}2p$  吸収端の XANES は  $\text{Si}$  原子近傍の電子状態を反映することから、 $\text{SiO}_x$  中のシリコン原子は  $\text{SiO}_2$  の構造と同様に、4 個の酸素原子が配位した  $\text{SiO}_4$  構造をとると考えられる。

非化学量論組成をもつ  $\text{SiO}_x$  の微細構造については、大きくわけると二つのモデルが提案されている。ひとつは、Random-Bonding Model (RBM)<sup>14)</sup>であり、これはシリコン原子と酸素原子がランダムにネットワークを組むと考えるモデルである。このモデルでは、 $\text{SiO}_x$  中のシリコン原子は平均値が  $x$  となるように 0 個から 4 個までの酸素原子とランダムに配位する。もうひとつは Mixture-Bonding Model (MBM)<sup>15)</sup>であり、これは 1 nm 程度の大きさをもつ  $\text{Si}$  と  $\text{SiO}_2$  の island が、組成比  $x$  となるような割合で分布するという考え方である。

このモデルによれば、シリコン原子は界面以外は常に 4 個の酸素原子と配位する。

Fig. 1 に示した  $\text{SiO}_x$  の XANES のスペクトルの構造が  $x=0.2$  においてすでに  $\text{SiO}_2$  の構造に類似し、それ以外の構造が認められることは、 $\text{SiO}_x$  中の Si 原子が  $\text{SiO}_2$  と同様に 4 個の酸素原子と配位することを示している。 $\text{SiO}_x$  の Si2p-XPS や SiKLL オーラジエピークが 2 本に分裂することも、このことを裏づけている。したがって、イオン注入により生成した  $\text{SiO}_x$  層の微細構造は  $x \geq 0.2$  において、明らかに MBM で説明できることがわかる。

### 3.2 $\text{SiN}_x$

Fig. 3 に、 $\text{N}_2^+$  イオンを照射した  $\text{Si}(100)$  の Si2p 吸収端領域の XANES スペクトルを示す。 $\text{SiO}_x$  の場合と異なり、スペクトル構造は  $x$  の値により漸次変化する。シリコン窒化物の安定層である  $\text{Si}_3\text{N}_4$  の X 線吸収スペクトルに関しては、Filatova らの報告<sup>11)</sup>がある。これと比較すると、 $x \geq 1.0$  において出現するピーク  $B$ 、 $C$  は、それぞれ  $\text{Si}2p \rightarrow t_2(3p)$  および  $\text{Si}2p \rightarrow e(ed)$  遷移に対応すると考えられる。しかし、ピーク  $B$ 、 $C$  の強度はきわめて小さく、 $x=1.1$  においても  $\text{Si}_3\text{N}_4$  層はほとんど存在しないと考えられる。ピーク  $A$  は  $\text{Si}2p \rightarrow \alpha_1(3s)$

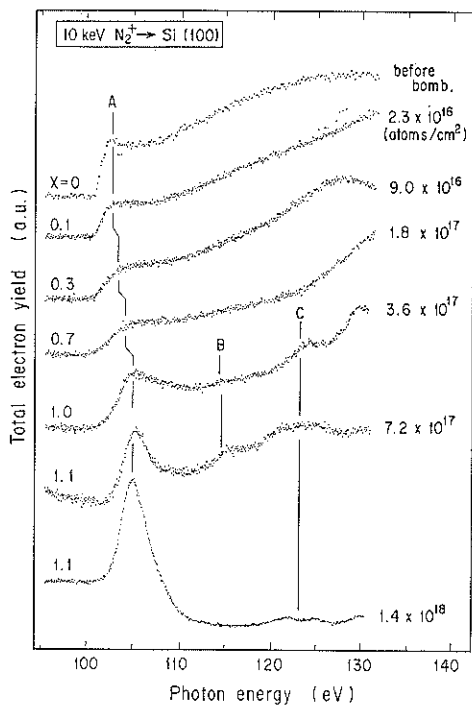


Fig. 3 XANES spectra of  $\text{SiN}_x$  at the Si2p edge. The  $x$  value is indicated in each spectrum.

遷移によるピークであり、 $\text{SiO}_x$  の場合と同様、 $x$  の増加とともに半導体から絶縁体への転移が起こり、内殻励起子の生成によるピーク強度の増大が認められる。

Fig. 4(a)およびFig. 4(b)に同様の試料の XPS, XAES を示す。 $\text{SiO}_x$  では  $\text{Si}2\text{p}$  光電子ピークおよび  $\text{SiKLL}$  オージェピークが  $\text{Si}$  と  $\text{SiO}_2$  の 2 本に分裂したが (Fig. 2),  $\text{SiN}_x$  の場合は、いずれのピークも  $x$  の値とともに徐々にエネルギーシフトする。Kärcher ら<sup>16)</sup>は、プラズマ-CVD により作成した  $\text{SiN}_x$  膜の  $\text{Si}2\text{p}$ -XPS ピークを測定し、Fig. 4(a)と類似のスペクトルを得ておらず、ピーク分割により  $\text{Si}$  に 0 個から 4 個の  $\text{N}$  原子が配位すると結論している。Fig. 4(a)の結果から 5 種の結合状態を同定することはむずかしいが、 $\text{SiKLL}$  オージェスペクトルと合わせて考えると、 $\text{Si}$  サイトには数種類の配位状態が存在することは確かである。

一方、XANES スペクトルの  $\text{Si}2\text{p} \rightarrow \text{a}1(3s)$  共鳴ピーク (Fig. 3, A) は、 $\text{SiO}_x$  の場合と異なり、徐々に高エネルギー側にシフトしている。これは  $\text{Si}2\text{p}$ -XPSとの比較から、 $\text{Si}2\text{p}$  軌道のエネルギーシフト、すなわち始状態のエネルギーシフトによるものと考えられる。このことは、 $x$  の増加に伴い  $\text{Si}$  原子周辺に順次  $\text{N}$  が配位していくことを示している。以上の結果から、イオン注入により生成した  $\text{SiN}_x$  層の構造を伝導帯および内殻軌道の電子構造から考察すると、シリコン原子周辺に 0 個から 4 個の窒素原子が配位した RBM<sup>15)</sup> に近い構造を

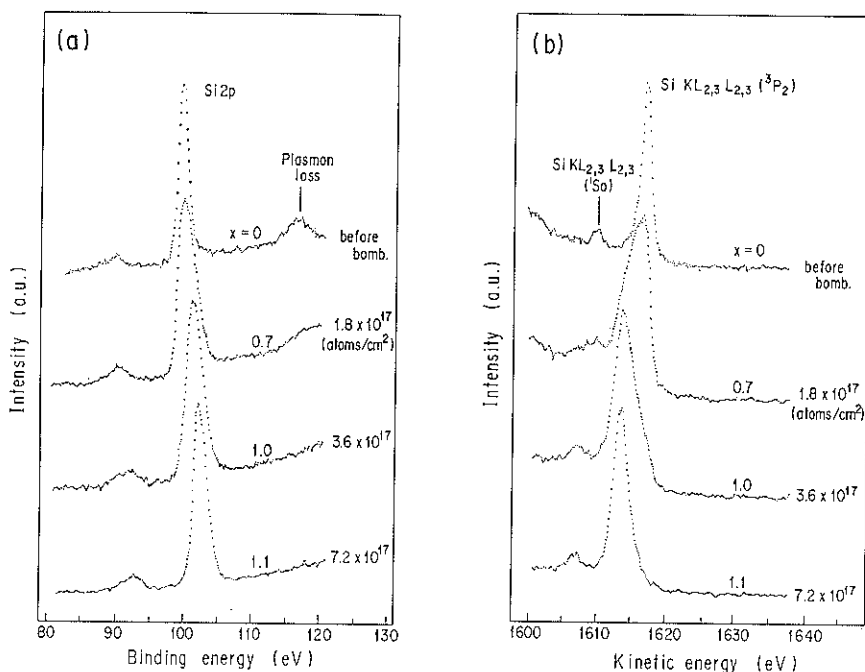


Fig. 4 Si2p-XPS (a) and SiKLL-XAES (b) of  $\text{SiN}_x$ . The  $x$  value is indicated in each spectrum.

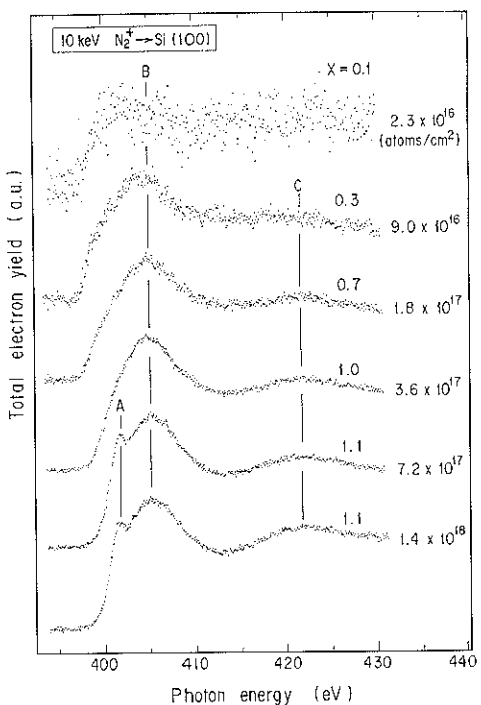


Fig. 5 XANES spectra of  $\text{SiN}_x$  at the N1s edge.  
The  $x$  value is indicated in each spectrum.

とすると考えられる。

Fig. 5 に  $\text{SiN}_x$  の N1s 吸収端の XANES スペクトルを示す。ピーク B および C は 1s 軌道からの共鳴吸収に特有な  $\pi^*$  共鳴 ( $\text{N}1\text{s} \rightarrow \pi^*$ ) および  $\sigma^*$  共鳴 ( $\text{N}1\text{s} \rightarrow \sigma^*$ ) と呼ばれる吸収ピーク<sup>2)</sup>であるが、 $x \geq 1.1$  のスペクトルでは、これに加え  $\sim 402$  eV に新たなピーク A が出現する。このピークは、その鋭い構造から N1s 軌道から原子状の N2p 軌道への共鳴吸収によるものと考えられ、おそらく結合に寄与しない不対電子 (ダングリングボンド) によるものであろう。

以上のように放射光のエネルギーを  $\text{SiO}_x$  および  $\text{SiN}_x$  の特定元素の吸収端に合せ、XANES 測定を行うことにより、その元素周囲の伝導帶電子構造を明らかにできることがわかった。他の吸収端 (たとえば Si1s) の XANES 測定や逆光電子分光法との比較により、より明確に伝導帶構造を決定できると考えられる。

#### 4. 結 言

イオン注入法により作成した  $\text{SiO}_x$  および  $\text{SiN}_x$  について、表面 XANES 法により伝導帶の電子構造を調べ以下の結果を得た。

- 1)  $\text{SiO}_x$  では、Si2p および Si2s 軌道からの共鳴吸収

ピークが内殻軌道のエネルギーシフトのため、Si に比べ  $3 \sim 4$  eV 高エネルギー側にシフトする。

- 2)  $\text{SiO}_x$  の XANES スペクトル構造は、 $x \geq 0.2$  において  $\text{SiO}_2$  の構造と類似する。これは Si が 4 個の O 原子と配位した構造をとることを示しており、 $\text{SiO}_x$  が Si と  $\text{SiO}_2$  の island からなる (MBM) ことを示唆する。
- 3)  $\text{SiN}_x$  の Si2p および Si2s の吸収端の XANES スペクトル構造は  $x$  の値とともに漸次変化し、 $x \geq 1.0$ においても  $\text{Si}_3\text{N}_4$  の構造はほとんど認められない。N 原子は Si 原子にランダムに配位すると考えられる。
- 4)  $\text{SiN}_x$  の N1s 吸収端では、 $x \geq 1.1$  において原子状の N2p 軌道への共鳴吸収が認められ、ダングリングボンドの生成が観測された。

#### 謝 辞

本研究にあたり有益な助言をいただいた大阪大学基礎工学部、菅 濟正教授および大門 寛博士に感謝いたします。本実験は高エネルギー物理学研究所放射光施設の共同利用実験（課題番号 91-276）として行われた。実験にあたりお世話になった柳下 明博士はじめ同研究所のスタッフの方々に感謝いたします。

#### 文 献

- 1) D. C. Koningsberger and R. Prins (ed): "X-ray Absorption" (John Wiley & Sons, New York, 1988).
- 2) J. Stöhr : "NEXAFS Spectroscopy" (Springer-Verlag, Berlin, Heidelberg, 1992).
- 3) 山本博之, 馬場祐治, 佐々木貞吉: 表面科学 13, 310 (1992).
- 4) J. P. Biersack and L. G. Haggmark : Nucl. Instrum. Meth. 174, 257 (1980).
- 5) O. A. Ershov and A. P. Lukirskii : Sov. Phys. Solid State 8, 1699 (1967).
- 6) C. Gahwiller and F. C. Brown : Phys. Rev. B 2, 1918 (1970).
- 7) F. C. Brown and O. P. Rustgi : Phys. Rev. Lett. 28, 497 (1972).
- 8) A. Bianconi : Surf. Sci. 89, 41 (1979).
- 9) A. Bianconi and R. S. Bauer : Surf. Sci. 99, 76 (1980).
- 10) T. Hattori, Y. Hisajima, H. Saito, T. Suzuki, H. Daimon, Y. Murata and M. Tsukada : Appl. Phys. Lett. 42, 244 (1983).
- 11) E. O. Filatova, A. S. Vinogradov and T. M. Zimkina : Sov. Phys. Solid State 27, 606 (1985).
- 12) G. R. Harp, Z. L. Han and B. P. Tonner : Phys. Scripta T 31, 23 (1990).
- 13) N. Niwano, Y. Takamura, H. Kataura and N. Miyamoto : J. Vac. Sci. Technol. A 9, 212 (1991).
- 14) R. J. Temkin : J. Non-Crystalline Solids 17, 215 (1971).
- 15) H. R. Philipp : J. Phys. Chem. Solids 32, 1935 (1971).
- 16) R. Kärcher, L. Ley and R. L. Johnson : Phys. Rev. B 30, 1986 (1984).